

Внутренние силовые факторы

I. ВНУТРЕННИЕ СИЛЫ В ПОПЕРЕЧНЫХ СЕЧЕНИЯХ СТЕРЖНЕЙ. МЕТОД СЕЧЕНИЙ.

Стержнем принято называть материальный объект, один из геометрических размеров которого много больше двух других. Силы взаимодействия стержня с другими материальными телами или полями называются *внешними*, а силы взаимодействия между отдельными частями материального объекта называются *внутренними*.

Поскольку основные критерии работоспособности любой конструкции определяются величиной и характером внутренних усилий, возникающих в сечениях стержня, определение внутренних усилий является важнейшей задачей курса сопротивления материалов.

Для определения внутренних усилий в стержнях используется *метод сечений*. Суть метода состоит в том, что стержень, нагруженный системой внешних сил $\{F_i\}$ (рис. 1.1) и находящийся в равновесии, мысленно делится на 2 части плоскостью, перпендикулярной его оси (рис. 1.2) и одна из частей стержня мысленно отбрасывается.

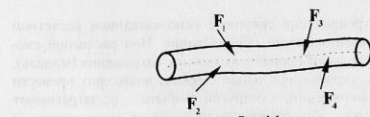


Рис. 1.1.

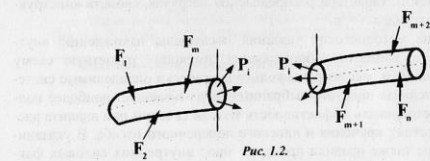


Рис. 1.2.

Внутренние силы, действующие на рассматриваемую часть со стороны отброшенной, могут быть определены из условия равновесия одной из частей стержня.

- 2 -

Внутренние силовые факторы

одной части стержня. График изменения величины внутреннего силового фактора по оси стержня называется *одной* внутренних усилий.

II. ПОРЯДОК ОПРЕДЕЛЕНИЯ ВНУТРЕННИХ СИЛОВЫХ ФАКТОРОВ В ПОПЕРЕЧНЫХ СЕЧЕНИЯХ ПЛОСКИХ СТЕРЖНЕВЫХ СИСТЕМ.

Плоской стержневой системой называется система, образованная стержнями, оси которых расположены в одной плоскости.

Сначала рассмотрим определение внутренних силовых факторов в прямолинейных стержнях.

Порядок расчета:

- 2.1. Определяем границы грузовых участков.
Границей грузового участка является сечение стержня, в котором приложен сосредоточенный внешний силовой фактор (сосредоточенная сила или пара сил) или находится начало (конец) внешнего распределенного силового фактора.
- 2.2. Проводим сечение внутри грузового участка и мысленно отбрасываем часть стержня, лежащую по одну сторону от проведенного сечения.
- 2.3. Выбираем систему координат с началом координат в центре тяжести сечения (см. рис. 1.4) и направляем векторы искомых силовых факторов в положительном направлении соответствующих координатных осей.
- 2.4. Составляем уравнения равновесия для системы сил, действующих на рассматриваемую часть стержня, и определяем искомые силовые факторы.
- 2.5. Проводим анализ результатов расчета и строим эпюры внутренних усилий.

III. ОПРЕДЕЛЕНИЕ ПРОДОЛЫХ УСИЛИЙ.

Продольной силой в поперечном сечении стержня называется проекция главного вектора системы внутренних сил на ось x .

Рассмотрим прямолинейный стержень, нагруженный системой внешних сил, линии действия которых совпадают с осью стержня.

Внутренние силовые факторы

Для удобства анализа, система внутренних сил $\{P_i\}$ приводится к главному вектору R и главному моменту M с центром приведения в центре тяжести поперечного сечения стержня (рис. 1.3).

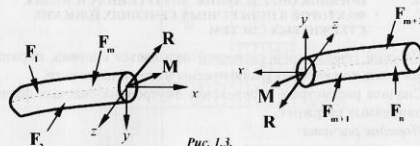


Рис. 1.3.

Проекции главного вектора и главного момента системы внутренних сил на оси координат называются *внутренними силовыми факторами*.

По третьему закону Ньютона силовые факторы в сечениях левой и правой части стержня равны по величине и противоположны по направлению. Чтобы знак силового фактора, определенного в правой и левой части стержня, был одинаков, вводятся две системы координат (рис. 1.3). Ось x направляется в сторону внешней нормали к сечению, а оси y и z располагаются в плоскости сечения, образуя левую тройку для левой части и правую для правой. Положительные направления внутренних силовых факторов совпадают с положительными направлениями координатных осей (рис. 1.4).

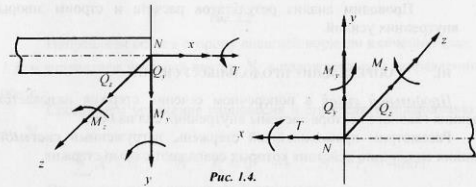


Рис. 1.4.

Величина и знак внутренних силовых факторов определяются из уравнений равновесия, составленных для системы сил, приложенной к

- 3 -

Внутренние силовые факторы

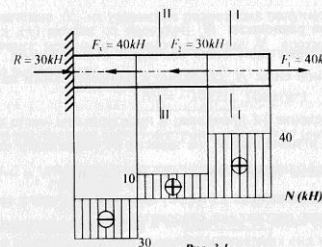


Рис. 3.1.

Проектируя внешние силы на ось стержня, находим реакцию в опоре:

$$\sum X = 0 \quad R + F_1 - F_2 - F_3 = 0 \quad R = 40 + 30 - 40 = 30kH$$

Проводим сечение I-I в произвольном месте I грузового участка и отбрасываем левую часть

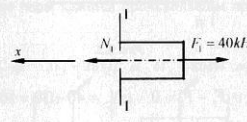


Рис. 3.2.

Направляем ось x в сторону внешней нормали к сечению (рис. 1.3) и направляем искомый вектор N_1 в положительном направлении оси x .

Составляем уравнение равновесия и определяем продольную силу N_1 .

$$\sum X = 0 \quad N_1 - F_1 = 0 \quad \rightarrow \quad N_1 = F_1 = 40kH$$

Проанализируем полученный результат.

- 4 -

- 5 -

Внутренние силовые факторы

Из уравнения равновесия N_1 , получено со знаком (+), следовательно, истинное направление силы совпадает с выбранным, т.е. направление продольной силы N_1 совпадает с положительным направлением оси x .

Поскольку сечение I-I проведено в произвольном месте первого грузового участка, а значение N_1 не зависит от координаты сечения, следовательно, на всем первом грузовом участке сила $N_1 = +40 \text{ kH}$. Продольная сила, направленная в сторону внешней нормали к сечению, вызывает деформацию растяжения, следовательно,

$$N_1 = 40 \text{ kH} \quad (\text{растяжение})$$

Аналогично получаем значения N_2 и N_3 на втором и третьем грузовых участках.

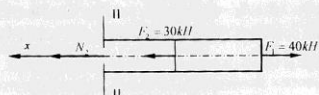


Рис. 3.3.

$$\sum X = 0 \quad N_2 + F_2 - F_1 = 0 \quad N_2 = 40 - 30 = 10 \text{ kH}$$

$$N_2 = 10 \text{ kH} \quad (\text{растяжение})$$

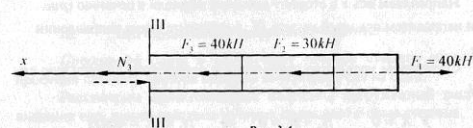


Рис. 3.4.

$$\sum X = 0 \quad N_3 + F_3 - F_2 = 0 \quad N_3 = F_1 - F_2 - F_3 = -30 \text{ kH}$$

- 6 -

Внутренние силовые факторы

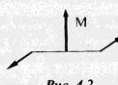


Рис. 4.2.

Поскольку скручивающие пары сил расположены в плоскостях, перпендикулярных осям стержня, следовательно, векторы моментов этих пар будут направлены по осям стержня (рис. 4.1). Определим крутящие моменты T_i в каждом сечении.

Сечение I-I: рассматриваем правую часть стержня.

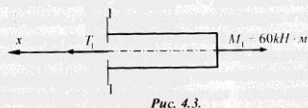


Рис. 4.3.

Составляем уравнение равновесия для рассматриваемой части стержня

$$\sum M_x = 0 \quad T_1 - M_1 = 0 \quad T_1 = M_1 = 60 \text{ kH} \cdot \text{m}$$

Поскольку величина T_1 не зависит от координаты сечения I-I, следовательно, на первом участке крутящий момент постоянен и равен $60 \text{ kH} \cdot \text{m}$.

$$T_1 = 60 \text{ kH} \cdot \text{m}$$

Находим крутящие моменты на остальных участках.

Сечение II-II:

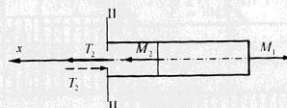


Рис. 4.4.

$$\sum M_x = 0 \quad T_2 + M_2 - M_1 = 0 \quad T_2 = M_1 - M_2 = -20 \text{ kH} \cdot \text{m}$$

$$T_2 = -20 \text{ kH} \cdot \text{m}$$

- 8 -

Внутренние силовые факторы

Значение N_3 из уравнения равновесия получилось со знаком (-), что означает: истинное направление силы N_3 противоположно первоначально выбранному.

$$N_3 = -30 \text{ kH} \quad (\text{сжатие})$$

По результатам расчетов строим эпюру $N(x)$ (рис. 3.1).

IV. ОПРЕДЕЛЕНИЕ КРУТИЩИХ МОМЕНТОВ В ПОПЕРЕЧНЫХ СЕЧЕНИЯХ СТЕРЖНЕЙ.

Крутящим моментом в поперечном сечении стержня называется проекция главного момента системы внутренних сил на ось x .

Рассмотрим прямолинейный стержень, нагруженный внешними парами сил, лежащими в плоскостях, перпендикулярных оси стержня. Моменты таких пар называются *скручивающими моментами*.

Чтобы определить крутящие моменты поперечных сечений стержня и построить эпюру крутящих моментов, заменим пары сил M_i векторами их моментов. Как известно, вектор момента пары сил перпендикулярен плоскости действия пары сил и направлен в ту сторону, откуда вращение пары кажется происходящим против часовой стрелки (рис. 4.2).

$$M_4 = 40 \text{ kH} \cdot \text{m} \quad M_3 = 20 \text{ kH} \cdot \text{m} \quad M_2 = 80 \text{ kH} \cdot \text{m} \quad M_1 = 60 \text{ kH} \cdot \text{m}$$

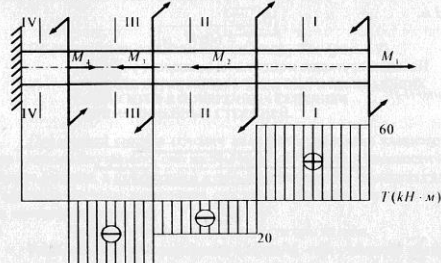


Рис. 4.1.

- 7 -

Внутренние силовые факторы

Сечение III-III:

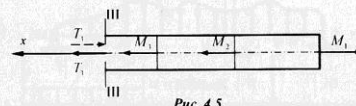


Рис. 4.5.

$$\sum M_x = 0 \quad T_3 + M_3 + M_2 - M_1 = 0 \quad T_3 = M_1 - M_2 - M_3 = -40 \text{ kH} \cdot \text{m}$$

$$T_3 = -40 \text{ kH} \cdot \text{m}$$

Сечение IV-IV:

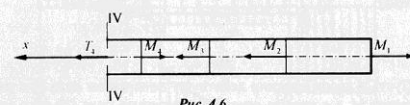


Рис. 4.6.

$$\sum M_x = 0 \quad T_4 - M_4 + M_3 + M_2 - M_1 = 0$$

$$T_4 = 0$$

По результатам расчетов строим эпюру $T(x)$ (рис. 4.1).

V. ОПРЕДЕЛЕНИЕ ПОПЕРЕЧНЫХ СИЛ И ИЗГИБАЮЩИХ МОМЕНТОВ В ПОПЕРЕЧНЫХ СЕЧЕНИЯХ ПРЯМОЛИНЕЙНЫХ СТЕРЖНЕЙ.

Поперечной силой в сечении называется проекция главного вектора системы внутренних сил на ось, расположенную в плоскости поперечного сечения, а *изгибающим моментом* называется проекция главного момента системы внутренних сил на ось, расположенную в плоскости поперечного сечения.

5.1. Дифференциальные зависимости при изгибе.

Рассмотрим прямолинейный стержень, нагруженный распределенной нагрузкой, интенсивность которой есть непрерывная функция $q(x)$.

- 9 -

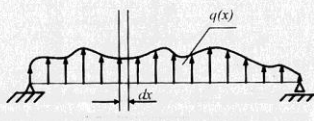


Рис. 5.1.

Выделим элементарный участок стержня длиной dx и рассмотрим условия равновесия этого элементарного участка.

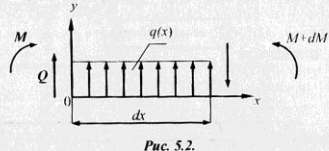


Рис. 5.2.

Пусть в левом сечении действуют поперечная сила Q и изгибающий момент M , а в правом сечении поперечная сила $Q+dQ$ и изгибающий момент $M+dM$.

Запишем уравнения равновесия выделенного участка

$$\sum Y = 0 \quad Q - Q - dQ + q(x)dx = 0$$

$$q(x) = \frac{dQ}{dx} \quad (5.1)$$

$$\sum M_0 = 0 \quad M + M + dM - (Q + dQ)dx + q(x) \frac{dx^2}{2} = 0$$

Пренебрегая величинами второго порядка малости, получим:

$$Q = \frac{dM}{dx} \quad (5.2)$$

$$q(x) = \frac{d^2M}{dx^2} \quad (5.3)$$

Соотношения 5.1 – 5.3 называются дифференциальными соотношениями при изгибе.

– 10 –

$$\sum M_n = 0 \quad q \cdot 2 \cdot 4 - M + F \cdot 1 - 5Y_A = 0$$

$$Y_A = \frac{160 - 80 + 60}{5} = 28kH$$

Проверка:

$$\sum Y = 0 \quad Y_A + Y_B - 2q - F = 28 + 72 - 40 - 60 = 0$$

Проведем сечение I-I на первом грузовом участке и рассмотрим левую часть стержня

Выбираем систему координат yz с началом координат в центре тяжести поперечного сечения. Ось y направляем вниз, а ось z – «на наблюдателя» (рис. 1.4).

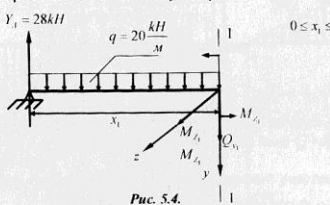


Рис. 5.4.

Определяемые внутренние силовые факторы (Q_{I_i} и M_{I_i}) направляем в положительные стороны соответствующих осей и составляем 2 уравнения равновесия для системы сил, действующих на рассматриваемую часть стержня.

$$\sum Y = 0 \quad Q_{I_i} - Y_A + q \cdot x_1 = 0 \rightarrow Q_{I_i} = Y_A - q \cdot x_1$$

Поскольку функция $Q_{I_i}(x)$ – линейна, находим значения на границах грузового участка

$$Q_{I_i}(0) = Y_A = 28kH \quad Q_{I_i}(2) = 28 - 40 = -12kH$$

Функция $Q_{I_i}(x)$ есть производная от $M(x)$ (см. 5.2) и на границах участка меняет знак, следовательно, внутри промежутка [0,2] она обращается в ноль, а функция $M(x)$ в этой точке имеет экстремум.

– 12 –

Рассмотрим прямолинейный стержень, подвергнутый плоскому поперечному изгибу (рис. 5.3).

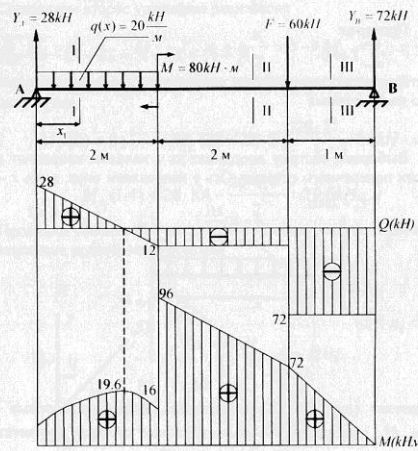


Рис. 5.3.

Требуется определить внутренние силы в поперечных сечениях стержня и построить эпоры внутренних силовых факторов.

Определим опорные реакции Y_A и Y_B , составив 2 уравнения равновесия

$$\sum M_A = 0 \quad -q \cdot 2 \cdot 1 - M - 4F + 5Y_B = 0$$

$$Y_B = \frac{40 + 80 + 240}{5} = 72kH$$

– II –

Находим координату точки экстремума

$$Q_{I_i} = 0 \quad Y_A - qx_1 = 0 \quad x_1 = \frac{Y_A}{q} = \frac{28}{20} = 1.4m$$

Составляем второе уравнение равновесия

$$\sum M_x = 0 \quad M_{z_i} - Y_A \cdot x_1 + q \frac{x_1^2}{2} = 0 \rightarrow M_{z_i} = Y_A \cdot x_1 - \frac{qx_1^3}{2}$$

Находим значения функции на границах грузового участка и в точке экстремума

$$M_{z_i}(0) = 0; \quad M_{z_i}(2) = 28 \cdot 2 - \frac{20 \cdot 2^3}{2} = 16kH \cdot m$$

$$M_{z_i}(1.4) = 28 \cdot 1.4 - \frac{20 \cdot 1.4^3}{2} = 19.6kH \cdot m$$

Проводим сечение II-II на втором грузовом участке и рассматриваем равновесие правой части стержня

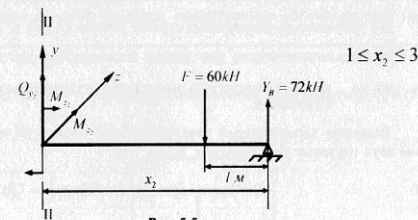


Рис. 5.5.

$$\sum Y = 0 \quad Q_{I_i} - F + Y_B = 0 \quad Q_{I_i} = F - Y_B = -12kH$$

$$\sum M_x = 0 \quad M_{z_i} + F(x_2 - 1) - Y_B \cdot x_2 = 0$$

$$M_{z_i} = Y_B x_2 - F(x_2 - 1) \quad M_{z_i}(1) = 72kH \cdot m$$

$$M_{z_i}(3) = 96kH \cdot m$$

– 13 –

Внутренние силовые факторы

Определяем внутренние усилия на III грузовом участке

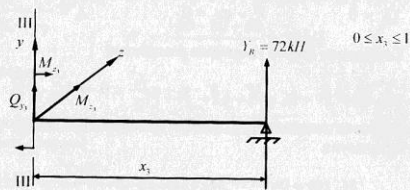


Рис. 5.6.

$$\begin{aligned}\sum Y &= 0 & Q_{z_1} + Y_h &= 0 & Q_{z_1} &= -Y_h = -72kH \\ \sum M_x &= 0 & M_{z_1} - Y_h \cdot x_1 &= 0 & M_{z_1} &= Y_h \cdot x_1 \\ M_{z_1}(0) &= 0 & M_{z_1}(1) &= 72kH \cdot 1\end{aligned}$$

По полученным результатам строим эпюры $Q_z(x)$ и $M_z(x)$ (см. рис. 5.3).

VI. ПРАВИЛА ПРОВЕРКИ ЭПЮР В ПРЯМОЛИНЕЙНЫХ СТЕРЖНЯХ

Выделим элементарный участок стержня длиной dx вблизи границы двух грузовых участков (рис. 6.1).

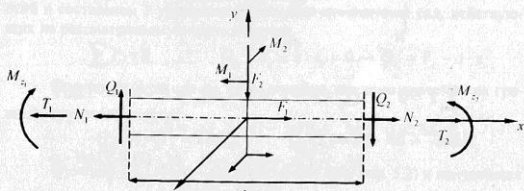


Рис. 6.1.

- 14 -

Внутренние силовые факторы

Разность значений изгибающего момента M_2 и M_1 на участке стержня, ограниченном координатами x_1 и x_2 , равна площади, ограниченной графиком функции $Q(x)$ на отрезке $[x_1, x_2]$.

VII. ОПРЕДЕЛЕНИЕ ВНУТРЕННИХ УСИЛИЙ В ПЛОСКИХ РАМАХ

Плоской рамой называется стержневая система, образованная прямолинейными стержнями, жестко соединенными между собой, оси которых лежат в одной плоскости.

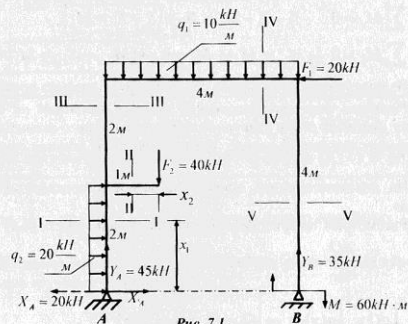


Рис. 7.1.

Определим внутренние усилия в плоской раме, изображенной на рис. 7.1.

7.1. Определяем реакции в опорах А и В из уравнений равновесия.

$$\sum X = 0 \quad X_A + q_2 \cdot 2 - F_1 = 0 \quad X_A = F_1 - q_2 \cdot 2 = 20 - 40 = -20kH$$

$$\sum M_A = 0 \quad -q_2 \cdot 2 \cdot 1 - F_2 \cdot 1 - q_1 \cdot 4 \cdot 2 + F_1 \cdot 4 - M + Y_h \cdot 4 = 0$$

$$Y_h = \frac{40 + 40 + 80 - 80 + 60}{4} = 35kH$$

$$\sum M_B = 0 \quad -q_2 \cdot 2 \cdot 1 + F_2 \cdot 3 + q_1 \cdot 4 \cdot 2 + F_1 \cdot 4 - M - Y_A \cdot 4 = 0$$

- 16 -

Внутренние силовые факторы

Пусть в левом сечении действуют внутренние силовые факторы N_1, Q_1, T_1, M_{z_1} , а в правом сечении N_2, Q_2, T_2, M_{z_2} . Пусть на границе участков приложены внешние сосредоточенные силовые факторы F_1, F_2, M_1, M_2 .

Составим уравнения равновесия для системы сил, действующих на рассматриваемый элементарный участок.

$$\sum X = 0 \quad N_2 - N_1 + F_1 = 0 \rightarrow [N_1 - N_2 = F_1] \quad (6.1)$$

$$\sum Y = 0 \quad Q_1 - Q_2 - F_2 = 0 \rightarrow [Q_1 - Q_2 = F_2] \quad (6.2)$$

$$\sum M_x = 0 \quad T_2 - T_1 - M_2 = 0 \rightarrow [T_1 - T_2 = M_2] \quad (6.3)$$

$$\sum M_z = 0 \quad M_{z_2} - M_{z_1} + M_1 = 0 \rightarrow [M_{z_1} - M_{z_2} = M_1] \quad (6.4)$$

Из полученных результатов следует первое правило проверки:

Разность значений внутренних силовых факторов на соседних грузовых участках равна величине соответствующего внешнего сосредоточенного силового фактора, приложенного на границе двух участков.

На соответствующей эпюре эта разность проявляется в виде «скакка».

Рассмотрим теперь дифференциальные зависимости (5.1) и (5.2).

$$q(x) = \frac{dQ}{dx} \rightarrow dQ = q(x)dx$$

$$\int_{x_1}^{x_2} dQ = \int_{x_1}^{x_2} q(x)dx \rightarrow Q_2 - Q_1 = \int_{x_1}^{x_2} q(x)dx \quad (6.5)$$

Из соотношения (6.5) вытекает второе правило проверки эпюры $Q(x)$:

Разность значений поперечной силы Q_2 и Q_1 на участке стержня, ограниченном координатами x_1 и x_2 , равна площади, ограниченной графиком функции $q(x)$ на отрезке $[x_1, x_2]$.

$$Q(x) = \frac{dM(x)}{dx} \rightarrow dM(x) = Q(x)dx \quad M_2 - M_1 = \int_{x_1}^{x_2} Q(x)dx \quad (6.6)$$

- 15 -

Внутренние силовые факторы

$$Y_A = \frac{-40 + 120 + 80 + 80 - 60}{4} = 45kH$$

Проверка: $\sum Y = 0 \quad Y_A + Y_h - F_2 - q_1 \cdot 4 = 45 + 35 - 40 - 40 = 0$

7.2. Рассматриваем первый грузовой участок (сечение I-I).

Чтобы определить направление координатных осей, будем рассматривать каждый грузовой участок «изнутри» контура, определяя, таким образом, левую и правую часть стержня.

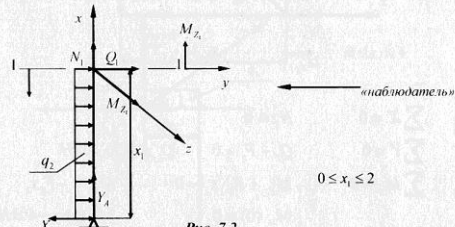


Рис. 7.2.

Из уравнений статики определяем искомые силовые факторы N_1, Q_1, M_z ,

$$\sum X = 0 \quad N_1 + Y_A = 0 \quad N_1 = -Y_A = -45kH \quad (\text{сжатие})$$

$$\sum Y = 0 \quad Q_1 - X_A + q_1 \cdot x_1 = 0 \quad Q_1 = X_A - q_1 \cdot x_1$$

$$Q_1(0) = X_A = 20kH$$

$$Q_1(2) = 20 - 40 = -20kH$$

Поскольку на границах участка функция $Q(x)$ меняет знак, следовательно, внутри промежутка $[0 \div 2]$ функция $M(x)$ имеет экстремум. Находим координату точки экстремума.

$$X_A - q_1 \cdot x_1 = 0 \rightarrow x_1 = \frac{X_A}{q_1} = 1M$$

$$\sum M_z = 0 \quad M_{z_1} - X_A \cdot x_1 + q_1 \frac{x_1^2}{2} = 0 \quad M_{z_1} = X_A x_1 - q_1 \frac{x_1^2}{2}$$

- 17 -

Внутренние силовые факторы

$$M_{z_1}(0) = 0; M_{z_1}(2) = 40 - 40 = 0; M_{z_1}(1) = 20 - 10 = 10kH \cdot M$$

7.3. Определяем внутренние усилия на втором грузовом участке (сечение II-II).

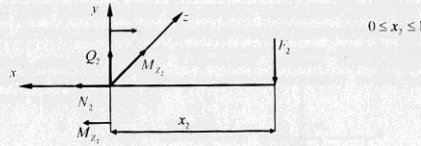


Рис. 7.3.

$$\sum X = 0 \quad N_2 = 0$$

$$\sum Y = 0 \quad Q_2 - F_2 = 0 \quad Q_2 = F_2 = 40kH$$

$$\sum M_z = 0 \quad M_{z_2} + F_2 \cdot x_2 = 0 \quad M_{z_2} = -F_2 x_2$$

$$M_{z_1}(0) = 0 \quad M_{z_1}(1) = -40kH \cdot M$$

7.4. Третий грузовой участок (сечение III-III).

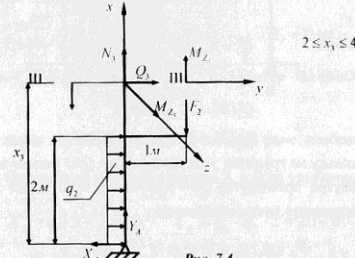


Рис. 7.4.

$$\sum X = 0 \quad N_3 + Y_3 = 0 \quad N_3 = -Y_3 = -45kH$$

$$\sum Y = 0 \quad Q_3 + q_2 \cdot 2 - X_3 = 0$$

- 18 -

Внутренние силовые факторы

$$\sum M_z = 0 \quad M_{z_1} + M - Y_h \cdot x_4 + q_1 \frac{x_4^2}{2} = 0$$

$$M_{z_1} = Y_h x_4 - M - q_1 \frac{x_4^2}{2}$$

$$M_{z_1}(0) = -M = -60kH \cdot M$$

$$M_{z_1}(4) = -60 - 80 + 140 = 0$$

$$M_{z_1}(3.5) = 122 \cdot 5 - 60 - 61.25 = 1.25kH \cdot M$$

7.6. Пятый грузовой участок (сечение V-V).

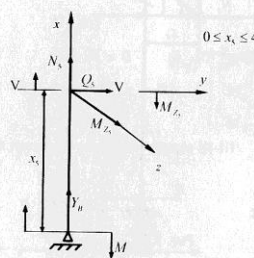


Рис. 7.6.

$$\sum X = 0 \quad N_5 + Y_5 = 0 \quad N_5 = -Y_5 = -35kH$$

$$\sum Y = 0 \quad Q_5 = 0$$

$$\sum M_x = 0 \quad M_{z_5} + M = 0 \quad M_{z_5} = -M = -60kH \cdot M$$

- 20 -

Внутренние силовые факторы

$$Q_3 = X_4 - q_2 \cdot 2 = 20 - 40 = -20kH$$

$$\sum M_z = 0 \quad M_{z_1} - F_2 \cdot 1 + q_2 \cdot 2 \cdot (x_1 - 1) - X_4 \cdot x_1 = 0$$

$$M_{z_1} = F_2 \cdot 1 + X_4 \cdot x_1 - q_2 \cdot 2(x_1 - 1)$$

$$M_{z_1}(2) = 40 + 40 - 40 = 40kH \cdot M$$

$$M_{z_1}(4) = 40 + 80 - 120 = 0$$

7.5. Четвертый грузовой участок (сечение IV-IV).

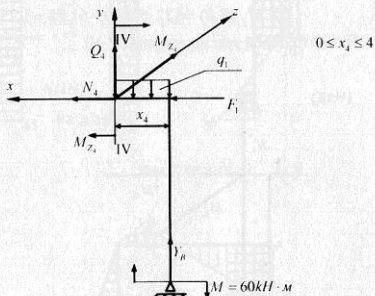


Рис. 7.5.

$$\sum X = 0 \quad N_4 + F_4 = 0 \quad N_4 = -F_4 = -20kH \text{ (сжатие)}$$

$$\sum Y = 0 \quad Q_4 + Y_h - q_1 x_4 = 0 \quad Q_4 = q_1 x_4 - Y_h$$

$$Q_4(0) = -Y_h = -35kH$$

$$Q_4(4) = -35 + 40 = 5kH$$

Находим координату точки экстремума функции $M(x)$.

$$-Y_h + q_1 x_4 = 0 \quad x_4 = \frac{Y_h}{q_1} = \frac{35}{10} = 3.5M$$

- 19 -

Внутренние силовые факторы

7.7. Построение эпюор внутренних усилий. В отличие от стержней эпюры внутренних усилий в рамках строятся каждая на отдельном контуре.

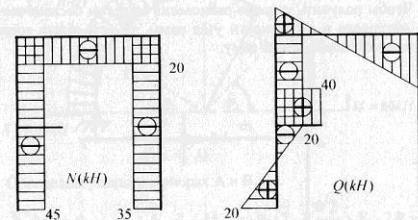


Рис. 7.7.

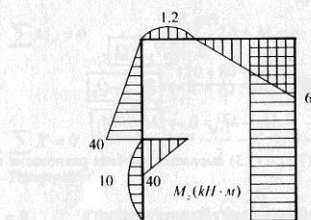


Рис. 7.8.

При выбранном направлении координатных осей эпюра изгибающих моментов строится на сжатом волокне, поэтому, как правило, знаки (+), (-) на эпюре изгибающих моментов не ставятся.

- 21 -

7.8. Правила проверки эпзор внутренних усилий в рамках.
Кроме правил проверки эпзор, перечисленных в п. 6, при построении эпзор внутренних усилий в рамках необходимо убедиться в выполнении условий равновесия в узлах.

Чтобы получить условия равновесия выделим бесконечно малый объем материала в окрестности узла рамы, то есть места соединения двух стержней, образующих раму.

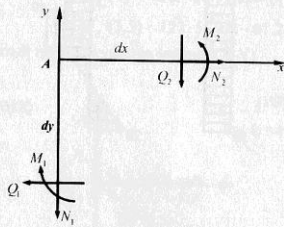


Рис. 7.9.

$$\sum X = 0 \quad N_2 - Q_1 = 0 \rightarrow [N_2 = Q_1] \quad (7.1)$$

$$\sum Y = 0 \quad -N_1 - Q_2 = 0 \rightarrow [N_1 = -Q_2] \quad (7.2)$$

$$\sum M_A = 0 \quad M_2 - M_1 = 0 \rightarrow [M_1 = M_2] \quad (7.3)$$

Соотношения (7.1) – (7.3) выражают условия равновесия в узлах рамы.

VIII. ОПРЕДЕЛЕНИЕ ВНУТРЕННИХ УСИЛИЙ В КРИВОЛИНЕЙНЫХ СТЕРЖНЯХ МАЛОЙ КРИВИЗНЫ.

Криволинейными стержнями малой кривизны принято называть стержни, оси которых представляют собой некоторую кривую с радиусом кривизны много больше геометрических размеров поперечного сечения.

Определим внутренние усилия в стержне (рис. 8.1), ось которого представляет собой дугу окружности радиуса R.

– 22 –

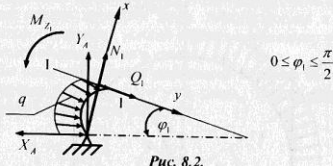


Рис. 8.2.

$$\sum X = 0 \quad N_1 + q \cdot 2R \sin \frac{\varphi_1}{2} \cdot \sin \frac{\varphi_1}{2} - X_A \sin \varphi_1 + Y_A \cos \varphi_1 = 0$$

$$N_1 = X_A \sin \varphi_1 - Y_A \cos \varphi_1 - 2qR \sin^2 \frac{\varphi_1}{2}$$

$$N_1(0) = -Y_A = -70kH \quad N_1(\frac{\pi}{2}) = 40 - 2 \cdot 20 \cdot 2 \cdot \frac{1}{2} = 0$$

$$\sum Y = 0 \quad Q_1 + q2R \sin \frac{\varphi_1}{2} \cdot \cos \frac{\varphi_1}{2} - X_A \cos \varphi_1 - Y_A \sin \varphi_1 = 0$$

$$Q_1 = X_A \cos \varphi_1 + Y_A \sin \varphi_1 - qR \sin \varphi_1$$

$$Q_1(0) = X_A = 40kH \quad Q_1(\frac{\pi}{2}) = 70 - 40 = 30kH$$

$$\sum M_z = 0$$

$$M_{z_1} - X_A R \sin \varphi_1 - Y_A R(1 - \cos \varphi_1) + 2qR \sin \frac{\varphi_1}{2} R \sin \frac{\varphi_1}{2} = 0$$

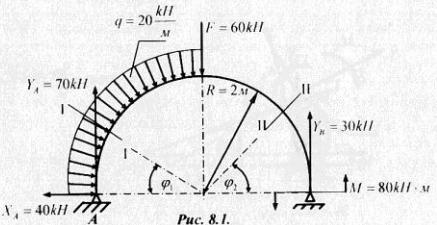
$$M_{z_1} = X_A R \sin \varphi_1 + Y_A R(1 - \cos \varphi_1) - qR^2 \sin \varphi_1$$

$$M_{z_1}(0) = 0$$

$$M_{z_1}(\frac{\pi}{2}) = X_A R + Y_A R - qR^2 = 80 + 140 - 80 = 140kH \cdot m$$

Рассматриваем второй участок (сечение II-II) (рис. 8.3).

– 24 –



Определим реакции в опорах А и В.

$$\sum M_A = 0 \quad -F \cdot R + M + q \cdot R \sqrt{2} \cdot R \frac{\sqrt{2}}{2} + Y_B \cdot 2R = 0$$

$$Y_B = \frac{60 \cdot 2 - 80 + 80}{4} = 30kH$$

$$\sum M_B = 0 \quad F \cdot R - Y_A \cdot 2R + M + q \cdot R \sqrt{2} \cdot R \frac{\sqrt{2}}{2} = 0$$

$$Y_A = \frac{120 + 80 + 80}{4} = 70kH$$

$$\sum X = 0 \quad q \cdot R \sqrt{2} \cdot \frac{\sqrt{2}}{2} - X_A = 0 \rightarrow X_A = 40kH$$

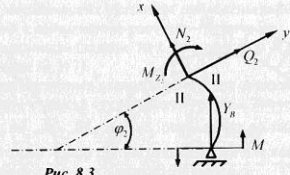
Проверка:

$$\sum Y = 0 \quad Y_A + Y_B - F - q \cdot R \sqrt{2} \cdot \frac{\sqrt{2}}{2} = 70 + 30 - 60 - 40 = 0$$

Рассмотрим первый грузовой участок (сечение I-I). Координаты сечения будем рассматривать в полярной системе координат (R, φ) (рис. 8.2).

– 23 –

$$0 \leq \varphi_1 \leq \frac{\pi}{2}$$



$$\sum X = 0 \quad N_2 + Y_B \cos \varphi_2 = 0 \quad N_2 = -Y_B \cos \varphi_2$$

$$N_2(0) = -Y_B = -30kH \quad N_2(\frac{\pi}{2}) = 0$$

$$\sum Y = 0 \quad Q_2 + Y_B \sin \varphi_2 = 0 \quad Q_2 = -Y_B \sin \varphi_2$$

$$Q_2(0) = 0 \quad Q_2(\frac{\pi}{2}) = -30kH$$

$$\sum M_z = 0 \quad M_{z_2} - M - Y_B(R - R \cos \varphi_2) = 0$$

$$M_{z_2} = M + Y_B R(1 - \cos \varphi_2)$$

$$M_{z_2}(0) = M = 80kH \cdot m$$

$$M_{z_2}(\frac{\pi}{2}) = 80 + 60 = 140kH \cdot m$$

По результатам расчетов строим эпюры внутренних усилий.

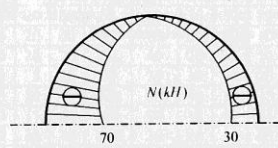


Рис. 8.4.

– 25 –

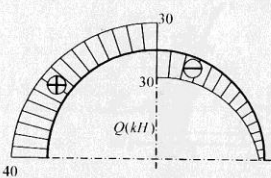


Рис. 8.5.

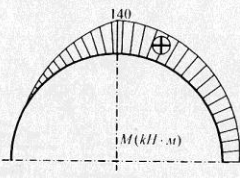


Рис. 8.6.

IX. ОФОРМЛЕНИЕ РАСЧЕТНО-ГРАФИЧЕСКОЙ РАБОТЫ.

В оформленном виде расчетно-графическая работа состоит из пояснительной записи и графической части. В пояснительной записи приводятся все вычисления и построения по каждой из задач, входящих в задание. Кратко излагаются комментарии и пояснения к вычислениям. На титульном листе пояснительной записи необходимо указать название министерства, института, кафедры, тему расчетно-графической работы, номер варианта задания. Кроме того, здесь же приводятся фамилии и инициалы студента - автора работы и преподавателя, под руководством которого она выполнена.

Графическая часть представляет собой чертеж, выполненный на листе формата А2. На чертеже должны быть приведены расчетные схемы стержней и стержневых систем с обязательным указанием численных значений и направления заданных внешних нагрузок и опорных реакций. Под схемой каждого стержня приводятся эпюры соответствующих внутренних силовых факторов. Графические построения необходимо выполнять с соблюдением масштаба.

X. ПРИЛОЖЕНИЕ.

В настоящих методических указаниях приведены варианты индивидуальных заданий к выполнению расчетно-графических работ по курсу «Прикладная механика» (задачи № 1–5) и по курсу «Сопротивление материалов» (задачи № 1–7).

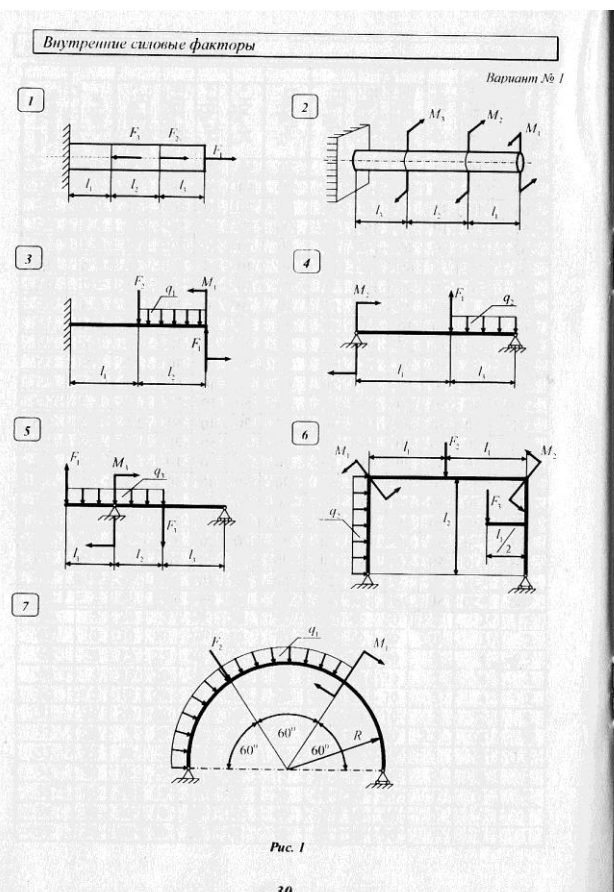
Номер варианта расчетных схем соответствует порядковому номеру фамилии студента в списке студенческой группы. Значения $q_1, q_2, q_3, F_1, F_2, F_3, M_1, M_2, M_3, l_1, l_2, l_3$ определяют по таблице исходных данных, в которой номер строки (одинаковый для всей студенческой группы) выбирается по указанню преподавателя.

ИСХОДНЫЕ ДАННЫЕ

| Номер варианта исходных данных | $q_1, \text{kH/m}$ | $q_2, \text{kH/m}$ | $q_3, \text{kH/m}$ | F_1, kH | F_2, kH | F_3, kH | $M_1, \text{kH·m}$ | $M_2, \text{kH·m}$ | $M_3, \text{kH·m}$ | l_1, m | l_2, m | l_3, m |
|--------------------------------|--------------------|--------------------|--------------------|------------------|------------------|------------------|--------------------|--------------------|--------------------|-----------------|-----------------|-----------------|
| 1 | 5 | 10 | 20 | 10 | 20 | 40 | 50 | 80 | 40 | 1 | 2 | 2 |
| 2 | 10 | 15 | 30 | 20 | 10 | 50 | 40 | 30 | 40 | 0,5 | 2,5 | 2 |
| 3 | 20 | 20 | 15 | 30 | 20 | 70 | 10 | 40 | 10 | 1,5 | 2 | 1 |
| 4 | 30 | 10 | 20 | 40 | 5 | 60 | 30 | 40 | 20 | 2 | 3 | 1,5 |
| 5 | 40 | 25 | 25 | 20 | 30 | 80 | 60 | 10 | 70 | 1 | 2 | 1 |
| 6 | 10 | 20 | 8 | 30 | 80 | 20 | 20 | 40 | 50 | 1 | 3 | 2 |
| 7 | 10 | 6 | 20 | 10 | 30 | 10 | 20 | 30 | 40 | 1 | 2 | 1 |
| 8 | 10 | 20 | 8 | 20 | 40 | 40 | 30 | 20 | 30 | 1 | 4 | 2 |
| 9 | 6 | 10 | 20 | 20 | 50 | 10 | 10 | 60 | 20 | 2 | 3 | 1 |
| 10 | 4 | 10 | 20 | 30 | 70 | 70 | 20 | 70 | 10 | 1,5 | 2 | 1 |
| 11 | 5 | 10 | 20 | 10 | 20 | 30 | 30 | 10 | 50 | 1 | 2 | 1,5 |
| 12 | 8 | 10 | 20 | 20 | 30 | 40 | 10 | 15 | 20 | 1 | 2 | 1,8 |
| 13 | 10 | 20 | 10 | 10 | 20 | 30 | 10 | 20 | 30 | 10 | 2 | 1,5 |
| 14 | 6 | 20 | 20 | 30 | 50 | 60 | 30 | 10 | 20 | 2 | 1,5 | 2,5 |
| 15 | 12 | 8 | 20 | 40 | 50 | 10 | 30 | 20 | 10 | 1 | 2 | 1 |
| 16 | 5 | 10 | 20 | 20 | 50 | 40 | 20 | 5 | 10 | 2 | 4 | 2 |
| 17 | 10 | 20 | 5 | 20 | 90 | 70 | 30 | 15 | 20 | 3 | 3 | 2 |
| 18 | 20 | 15 | 20 | 40 | 100 | 80 | 40 | 20 | 5 | 2 | 4 | 3 |
| 19 | 40 | 30 | 15 | 60 | 100 | 50 | 10 | 40 | 15 | 3 | 2 | 3 |
| 20 | 50 | 40 | 10 | 40 | 50 | 30 | 20 | 30 | 40 | 2 | 3 | 1 |
| 21 | 12 | 20 | 30 | 10 | 30 | 40 | 10 | 20 | 30 | 0,5 | 4 | 1 |
| 22 | 15 | 30 | 40 | 20 | 40 | 50 | 20 | 30 | 20 | 0,6 | 3 | 2 |
| 23 | 20 | 24 | 20 | 30 | 20 | 30 | 30 | 10 | 10 | 0,8 | 5 | 1,5 |

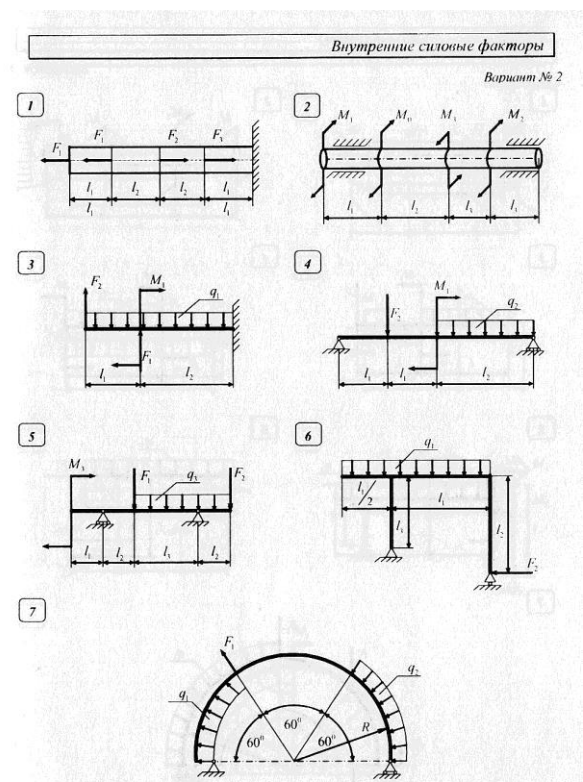
| Номер варианта исходных данных | $q_1, \text{kH/m}$ | $q_2, \text{kH/m}$ | $q_3, \text{kH/m}$ | $M_1, \text{kH·m}$ | $M_2, \text{kH·m}$ | $M_3, \text{kH·m}$ | l_1, m | l_2, m | l_3, m | | | |
|--------------------------------|--------------------|--------------------|--------------------|--------------------|--------------------|--------------------|-----------------|-----------------|-----------------|-----|-----|-----|
| 24 | 8 | 10 | 10 | 20 | 30 | 40 | 20 | 20 | 10 | 1 | 6 | 1 |
| 25 | 10 | 20 | 10 | 10 | 10 | 20 | 10 | 10 | 20 | 1 | 4 | 1 |
| 26 | 4 | 20 | 30 | 40 | 70 | 10 | 30 | 10 | 50 | 1 | 2 | 1 |
| 27 | 6 | 10 | 20 | 50 | 60 | 20 | 10 | 20 | 30 | 1 | 1 | 0,5 |
| 28 | 8 | 10 | 30 | 10 | 20 | 10 | 20 | 20 | 30 | 1 | 1 | 1 |
| 29 | 10 | 20 | 24 | 20 | 30 | 40 | 10 | 10 | 20 | 2 | 2,5 | 2 |
| 30 | 6 | 10 | 20 | 20 | 40 | 30 | 10 | 20 | 10 | 1 | 1 | 1 |
| 31 | 20 | 15 | 10 | 40 | 30 | 10 | 50 | 10 | 70 | 3 | 4 | 1 |
| 32 | 20 | 30 | 15 | 30 | 40 | 20 | 10 | 40 | 80 | 2 | 2,5 | 0,5 |
| 33 | 30 | 20 | 35 | 30 | 50 | 40 | 10 | 15 | 25 | 2 | 3 | 2 |
| 34 | 25 | 40 | 30 | 30 | 60 | 50 | 15 | 10 | 30 | 2 | 3 | 2,5 |
| 35 | 5 | 15 | 25 | 30 | 50 | 40 | 30 | 60 | 50 | 2 | 4 | 2 |
| 36 | 10 | 5 | 15 | 30 | 70 | 50 | 50 | 30 | 20 | 3 | 3 | 3 |
| 37 | 15 | 40 | 20 | 40 | 50 | 30 | 40 | 50 | 30 | 4 | 4 | 1,5 |
| 38 | 20 | 30 | 15 | 50 | 80 | 40 | 50 | 80 | 60 | 1,5 | 3 | 2 |
| 39 | 15 | 20 | 30 | 10 | 40 | 50 | 70 | 60 | 40 | 2,5 | 3 | 2 |
| 40 | 30 | 10 | 40 | 40 | 50 | 80 | 20 | 30 | 10 | 1 | 2 | 1 |
| 41 | 20 | 25 | 30 | 30 | 20 | 60 | 50 | 40 | 30 | 3 | 4,5 | 3 |
| 42 | 40 | 30 | 20 | 80 | 40 | 30 | 30 | 50 | 40 | 3 | 4 | 1 |
| 43 | 20 | 40 | 20 | 20 | 30 | 40 | 20 | 40 | 30 | 2 | 3 | 1 |
| 44 | 10 | 20 | 30 | 10 | 40 | 60 | 30 | 60 | 10 | 1 | 3 | 1 |
| 45 | 5 | 10 | 40 | 30 | 10 | 50 | 10 | 30 | 40 | 2 | 4 | 0,5 |
| 46 | 5 | 20 | 5 | 10 | 30 | 50 | 20 | 40 | 50 | 2 | 3 | 1,5 |
| 47 | 10 | 30 | 10 | 20 | 40 | 70 | 80 | 50 | 40 | 3 | 3 | 2 |
| 48 | 20 | 15 | 25 | 40 | 30 | 80 | 50 | 60 | 20 | 2 | 4 | 2,5 |
| 49 | 5 | 25 | 20 | 30 | 40 | 90 | 70 | 90 | 30 | 2 | 4 | 3 |
| 50 | 5 | 10 | 20 | 30 | 40 | 20 | 20 | 25 | 30 | 3 | 4 | 2 |
| 51 | 10 | 20 | 40 | 10 | 20 | 30 | 40 | 50 | 10 | 2 | 2 | 1 |
| 52 | 20 | 5 | 10 | 30 | 40 | 20 | 30 | 40 | 20 | 2,5 | 4 | 3 |
| 53 | 25 | 30 | 5 | 5 | 15 | 10 | 50 | 60 | 15 | 1 | 2 | 1,5 |
| 54 | 30 | 15 | 20 | 40 | 60 | 5 | 60 | 70 | 20 | 2 | 6 | 3 |
| 55 | 10 | 20 | 15 | 50 | 40 | 30 | 40 | 20 | 30 | 1 | 3 | 2 |
| 56 | 30 | 20 | 10 | 30 | 10 | 40 | 30 | 10 | 40 | 3 | 3 | 3 |
| 57 | 20 | 40 | 30 | 20 | 50 | 10 | 40 | 30 | 50 | 1 | 4 | 1 |

| Номер варианта исходных данных | $q_1, \text{kH/m}$ | $q_2, \text{kH/m}$ | $q_3, \text{kH/m}$ | F_1, kH | F_2, kH | F_3, kH | $M_1, \text{kH·m}$ | $M_2, \text{kH·m}$ | $M_3, \text{kH·m}$ | l_1, m | l_2, m | l_3, m |
|--------------------------------|--------------------|--------------------|--------------------|------------------|------------------|------------------|--------------------|--------------------|--------------------|-----------------|-----------------|-----------------|
| 58 | 10 | 30 | 20 | 10 | 50 | 20 | 50 | 20 | 20 | 2 | 3 | 1 |
| 59 | 40 | 20 | 20 | 10 | 50 | 60 | 20 | 30 | 60 | 4 | 4 | 2 |
| 60 | 10 | 40 | 6 | 10 | 50 | 45 | 100 | 20 | 10 | 50 | 3 | 3 |
| 61 | 6 | 10 | 20 | 30 | 45 | 100 | 20 | 10 | 20 | 2,5 | 6 | 1 |
| 62 | 15 | 20 | 40 | 15 | 20 | 40 | 30 | 20 | 20 | 2 | 4 | 3 |
| 63 | 50 | 5 | 60 | 40 | 10 | 80 | 40 | 20 | 40 | 1 | 6 | 2,5 |
| 64 | 10 | 20 | 30 | 10 | 5 | 20 | 60 | 10 | 60 | 2 | 2 | 0,5 |
| 65 | 5 | 40 | 20 | 20 | 15 | 30 | 20 | 40 | 30 | 3 | 4 | 2 |
| 66 | 15 | 20 | 10 | 25 | 40 | 40 | 20 | 30 | 10 | 4 | 4 | 4 |
| 67 | 20 | 30 | 25 | 30 | 50 | 60 | 20 | 10 | 20 | 2,5 | 6 | 1 |
| 68 | 15 | 30 | 20 | 20 | 60 | 40 | 20 | 10 | 30 | 2 | 3 | 1 |
| 69 | 20 | 10 | 50 | 30 | 20 | 60 | 30 | 40 | 60 | 1 | 3,5 | 3 |
| 70 | 40 | 30 | 20 | 50 | 10 | 80 | 60 | 10 | 50 | 1 | 3 | 2 |
| 71 | 40 | 30 | 20 | 10 | 30 | 20 | 30 | 30 | 50 | 2 | 2 | 1 |
| 72 | 20 | 10 | 30 | 40 | 20 | 30 | 20 | 30 | 50 | 1 | 2 | 1 |
| 73 | 20 | 30 | 20 | 40 | 30 | 20 | 30 | 50 | 10 | 3 | 4 | 2 |
| 74 | 40 | 20 | 20 | 60 | 50 | 30 | 20 | 40 | 30 | 3 | 5 | 3 |
| 75 | 30 | 40 | 20 | 50 | 30 | 60 | 20 | 50 | 10 | 2 | 4 | 2 |
| 76 | 30 | 50 | 20 | 20 | 40 | 60 | 40 | 20 | 40 | 2 | 4 | 1 |
| 77 | 30 | 50 | 40 | 40 | 20 | 40 | 20 | 20 | 40 | 2 | 5 | 2 |
| 78 | 30 | 50 | 10 | 60 | 40 | 20 | 40 | 20 | 20 | 2 | 5 | 1 |
| 79 | 30 | 50 | 5 | 60 | 20 | 60 | 20 | 40 | 20 | 2 | 4 | 2 |
| 80 | 30 | 50 | 20 | 40 | 20 | 60 | 10 | 20 | 40 | 2 | 5 | 2 |



Puc. I

- 30 -



Puc. 2

- 31 -

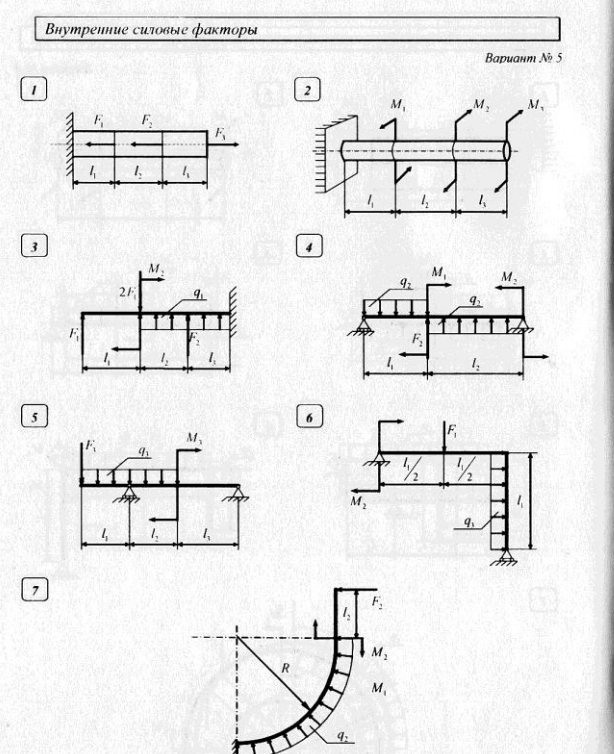


Рис. 5

- 34 -

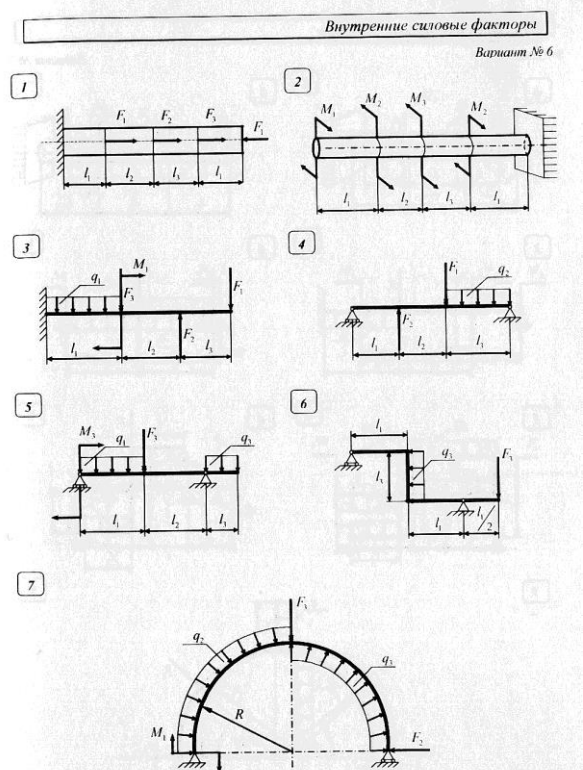


FIG. 6

- 35 -

Внутренние силовые факторы

Вариант № 7

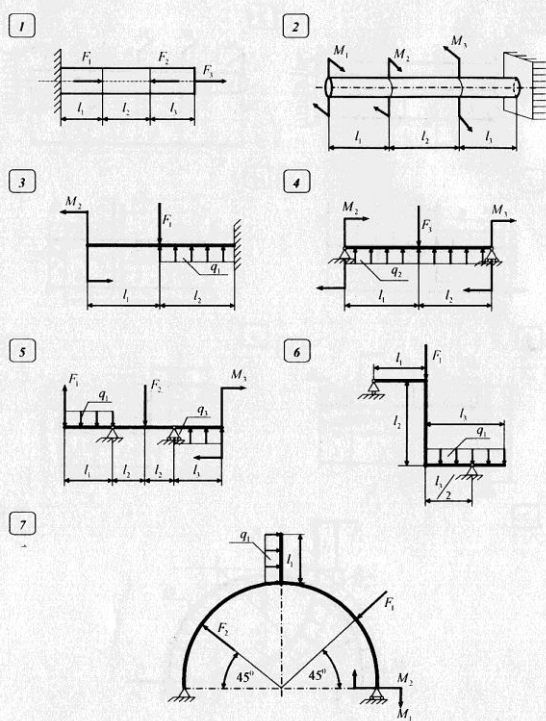


Рис. 7

- 36 -

Внутренние силовые факторы

Вариант № 8

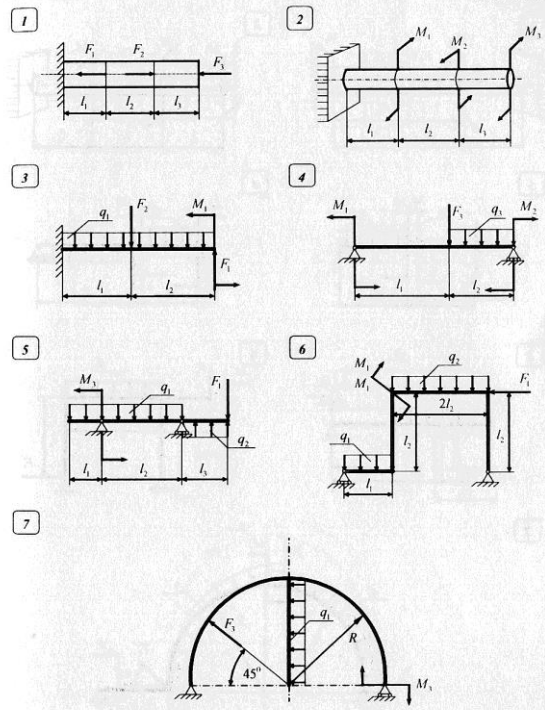


Рис. 8

- 37 -

Внутренние силовые факторы

Вариант № 9

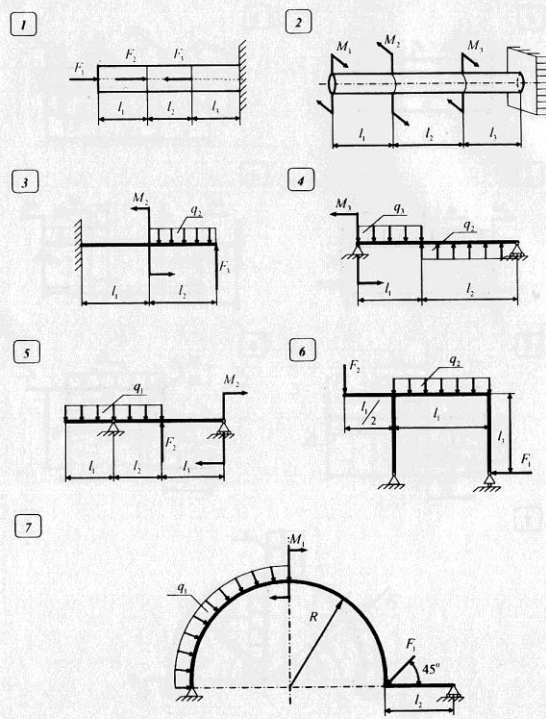


Рис. 9

- 38 -

Внутренние силовые факторы

Вариант № 10

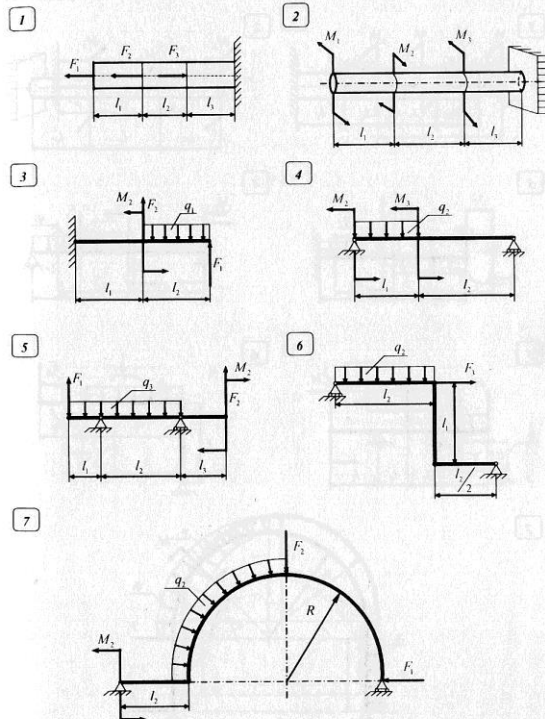


Рис. 10

- 39 -

Внутренние силовые факторы

Вариант № 11

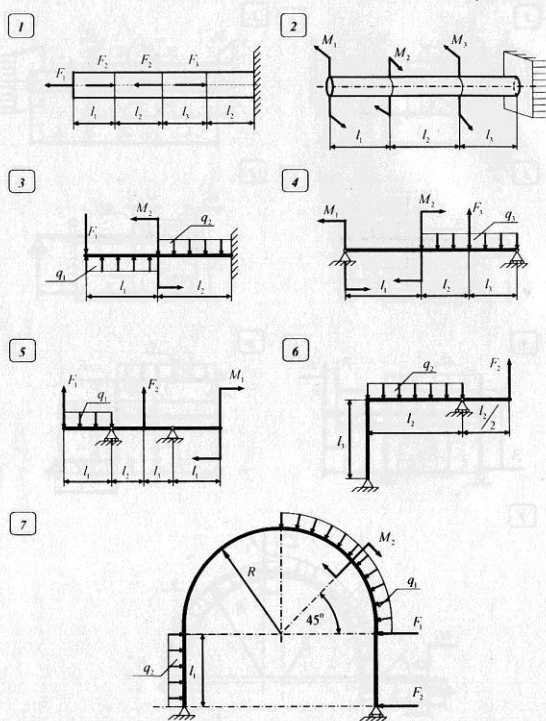


Рис. 11

- 40 -

Внутренние силовые факторы

Вариант № 12

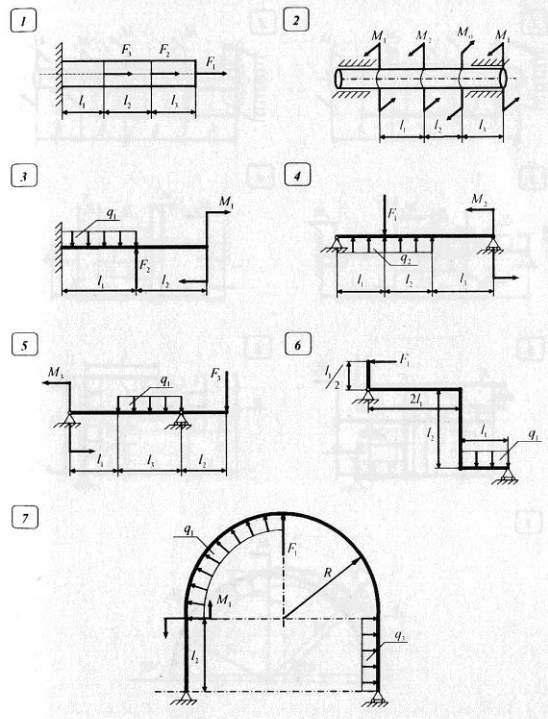


Рис. 12

- 41 -

Внутренние силовые факторы

Вариант № 13

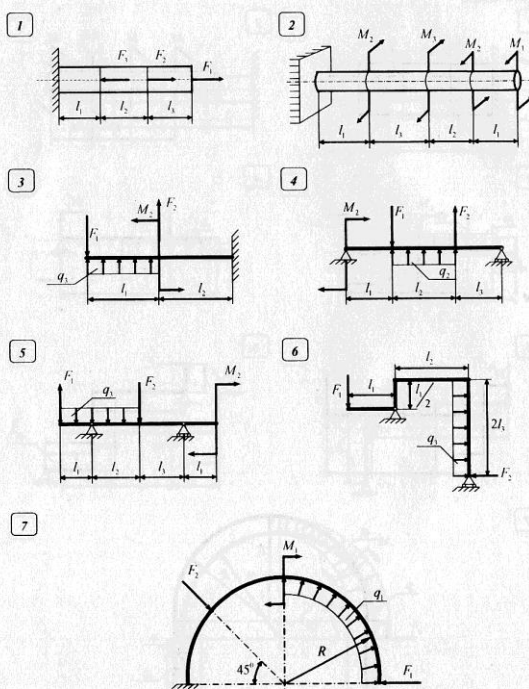


Рис. 13

- 42 -

Внутренние силовые факторы

Вариант № 14

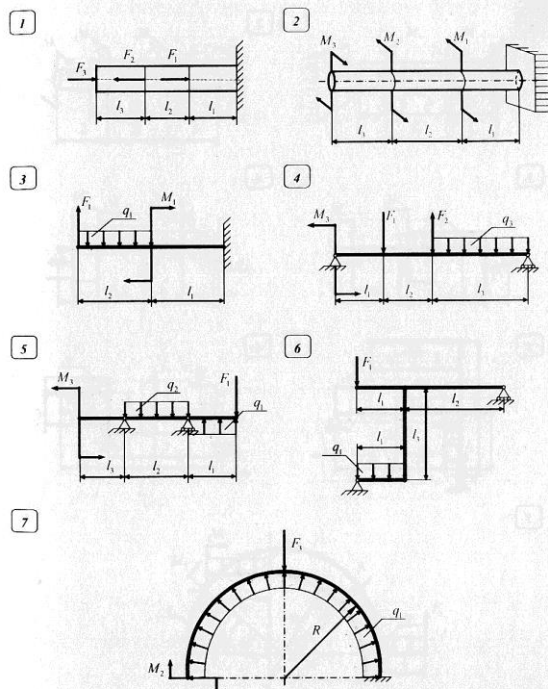


Рис. 14

- 43 -

Внутренние силовые факторы

Вариант № 15

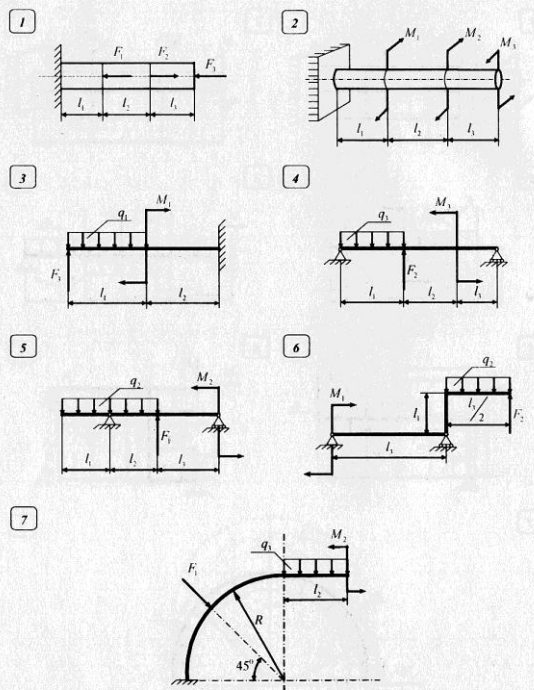


Рис. 15

- 44 -

Внутренние силовые факторы

Вариант № 16

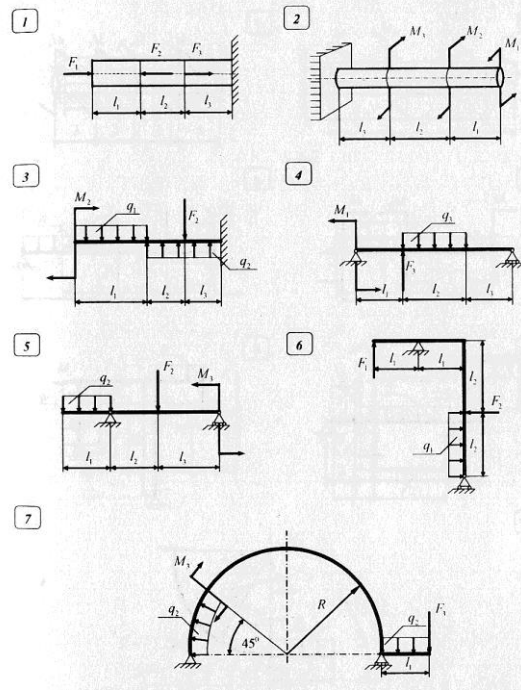


Рис. 16

- 45 -

Внутренние силовые факторы

Вариант № 17

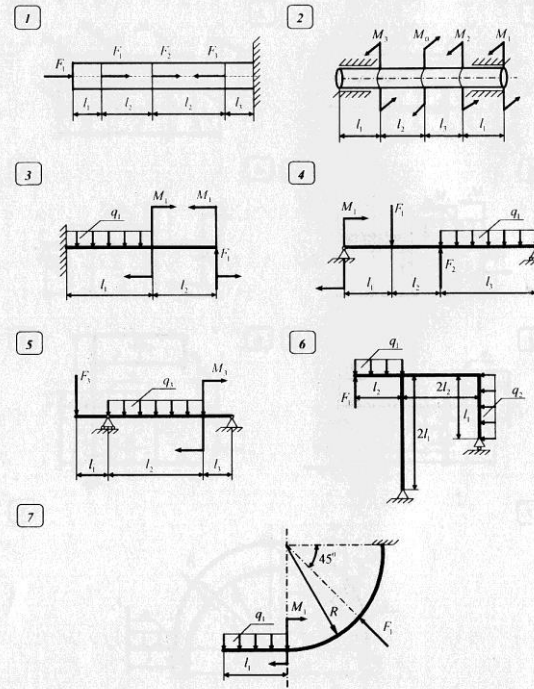


Рис. 17

- 46 -

Внутренние силовые факторы

Вариант № 18

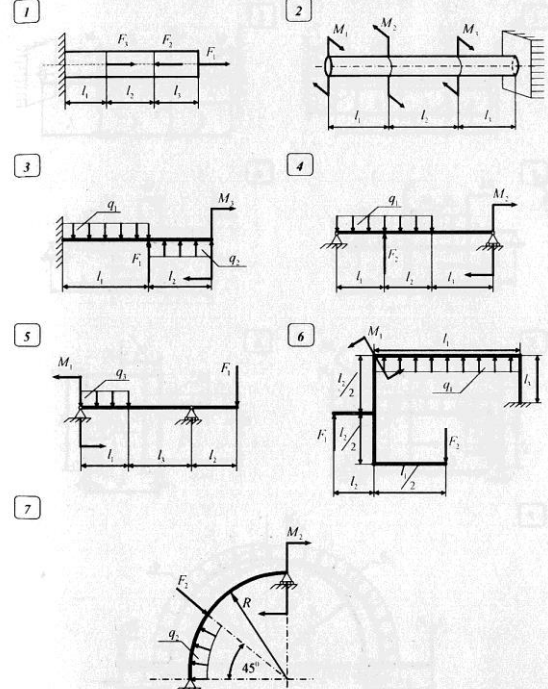


Рис. 18

- 47 -

Внутренние силовые факторы

Вариант № 19

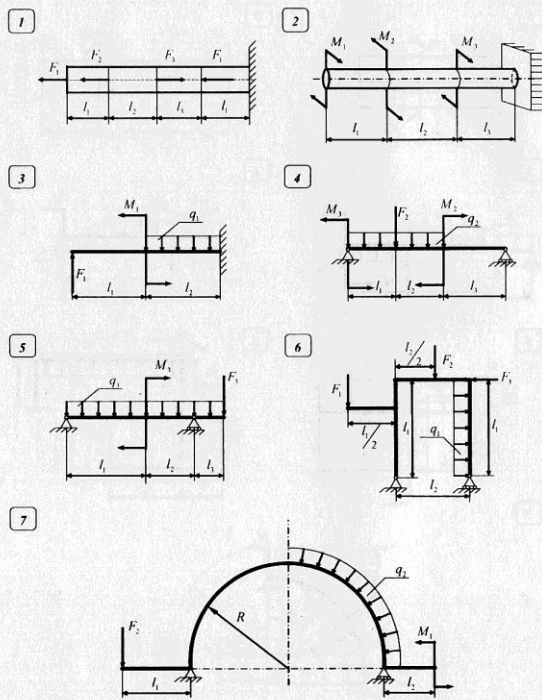


Рис. 19

- 48 -

Внутренние силовые факторы

Вариант № 20

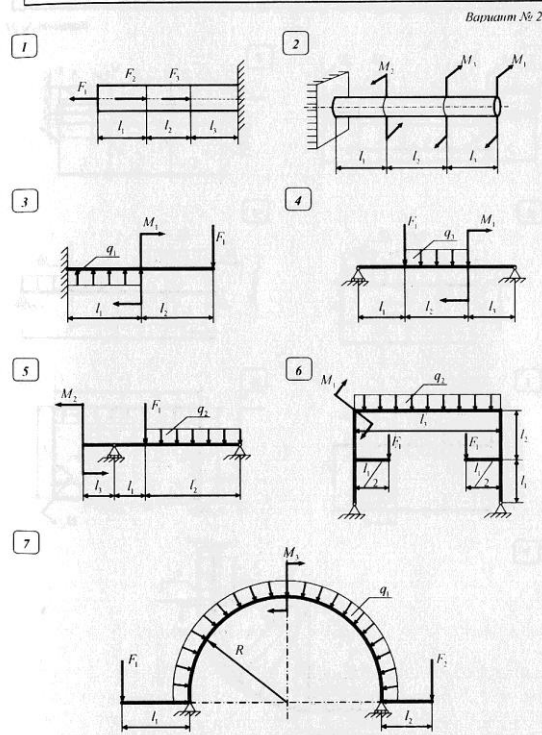


Рис. 20

- 49 -

Внутренние силовые факторы

Вариант № 21

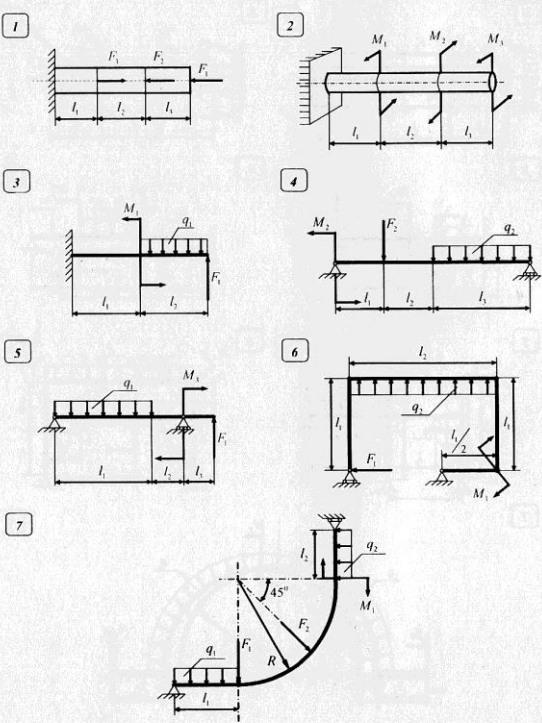


Рис. 21

- 50 -

Внутренние силовые факторы

Вариант № 22

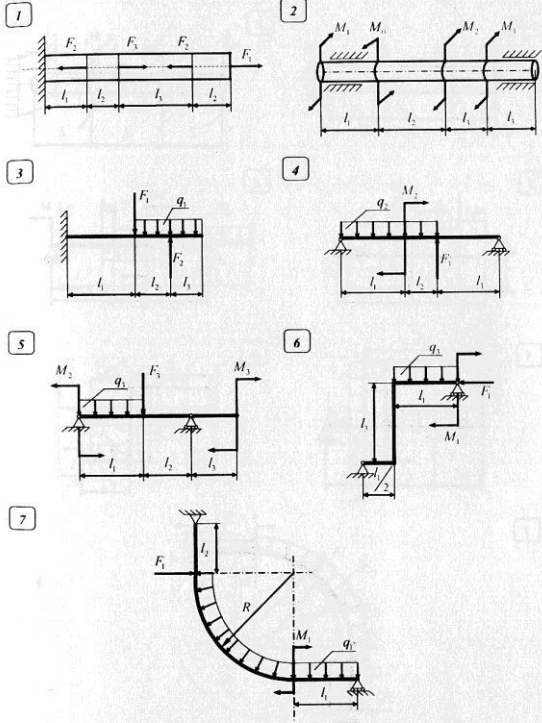


Рис. 22

- 51 -

Внутренние силовые факторы

Вариант № 23

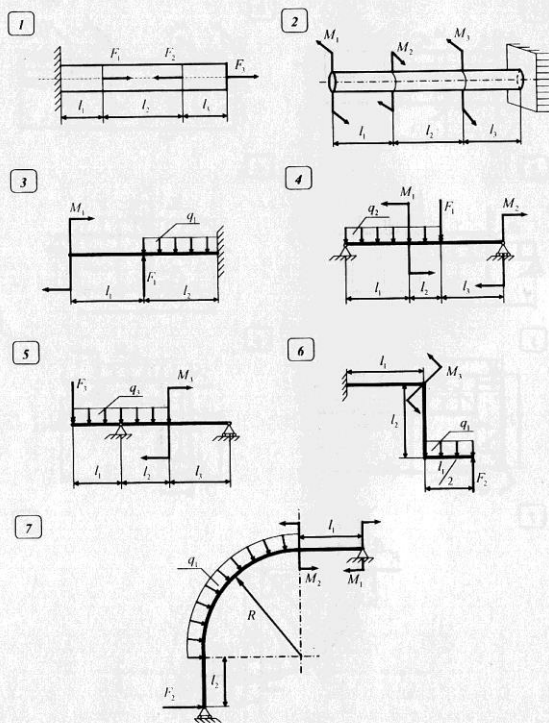


Рис. 23

- 52 -

Внутренние силовые факторы

Вариант № 24

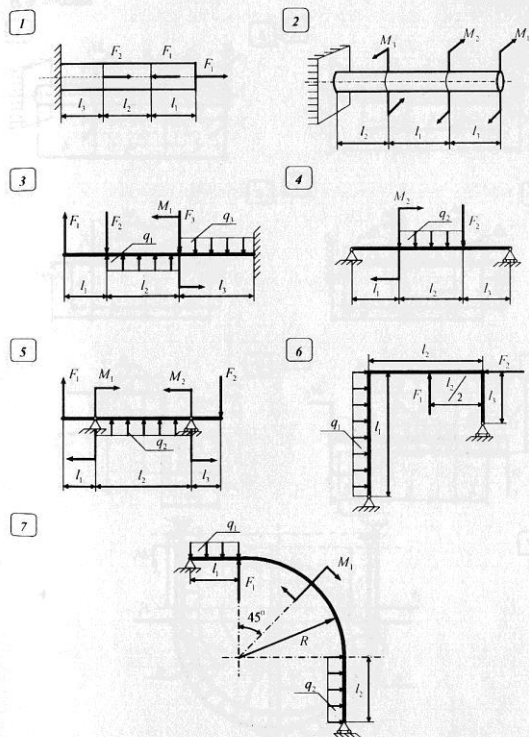


Рис. 24

- 53 -

Внутренние силовые факторы

Вариант № 25

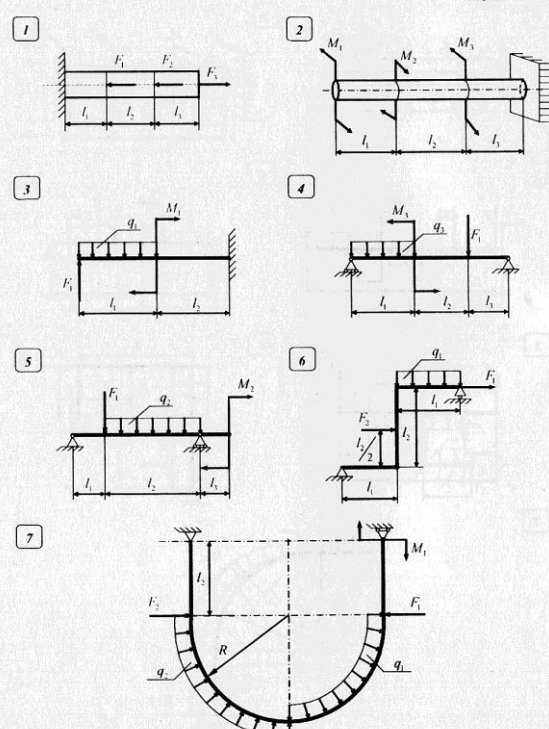


Рис. 25

- 54 -

Внутренние силовые факторы

Вариант № 26

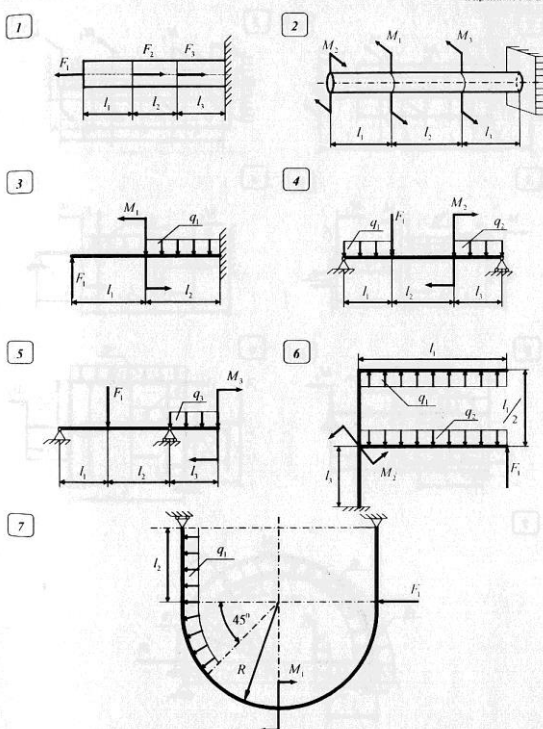
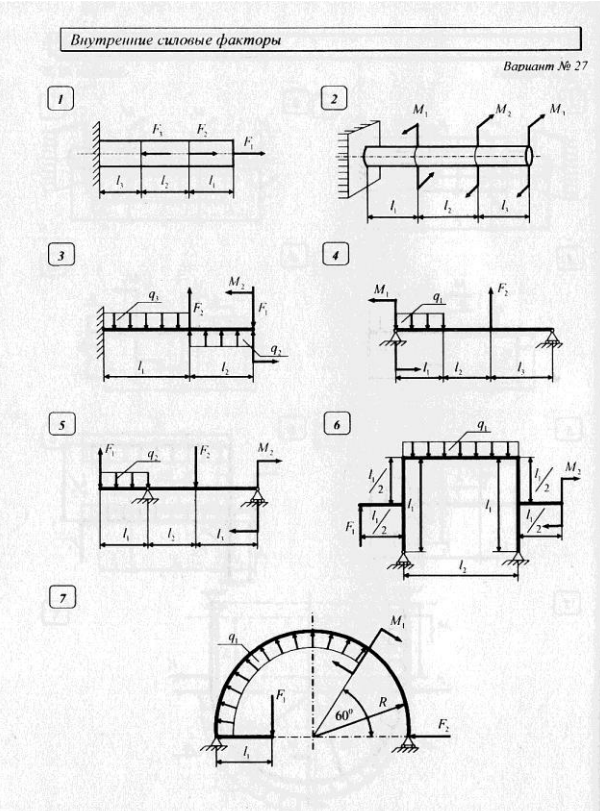


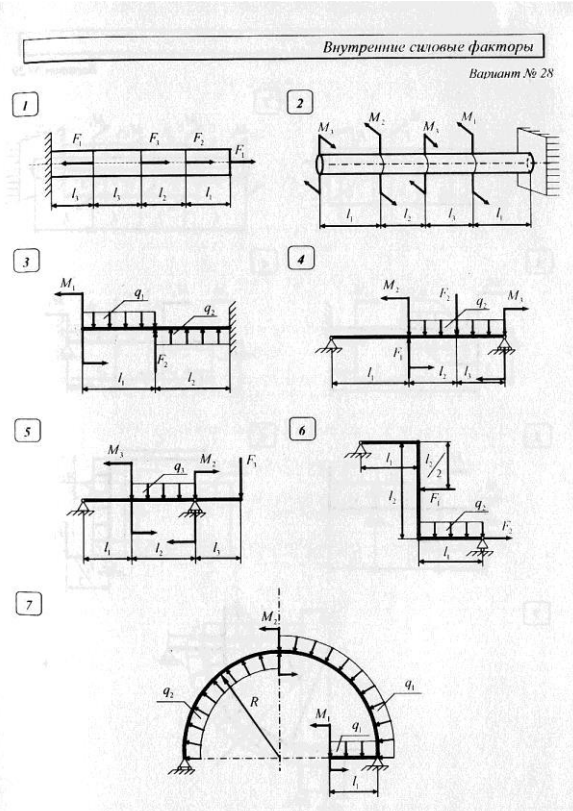
Рис. 26

- 55 -



Puc. 27

- 56 -



Puc. 28

- 57 -

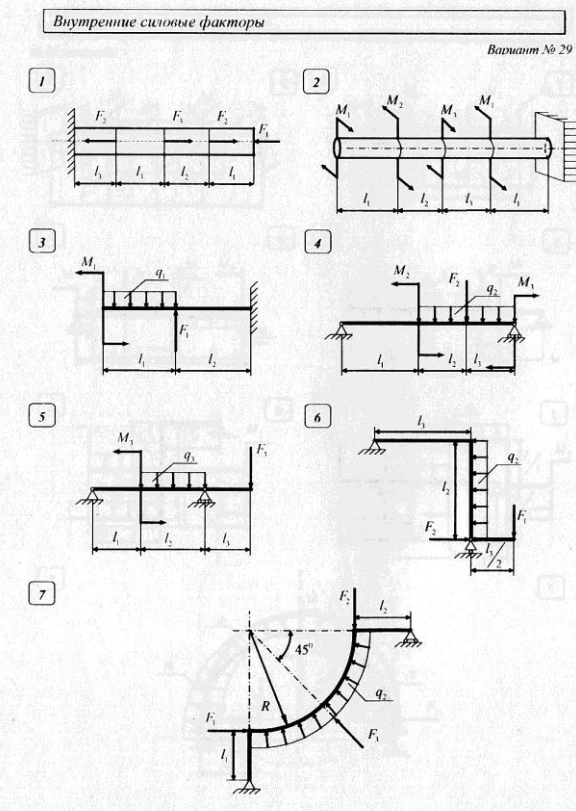


Рис. 29

- 58 -

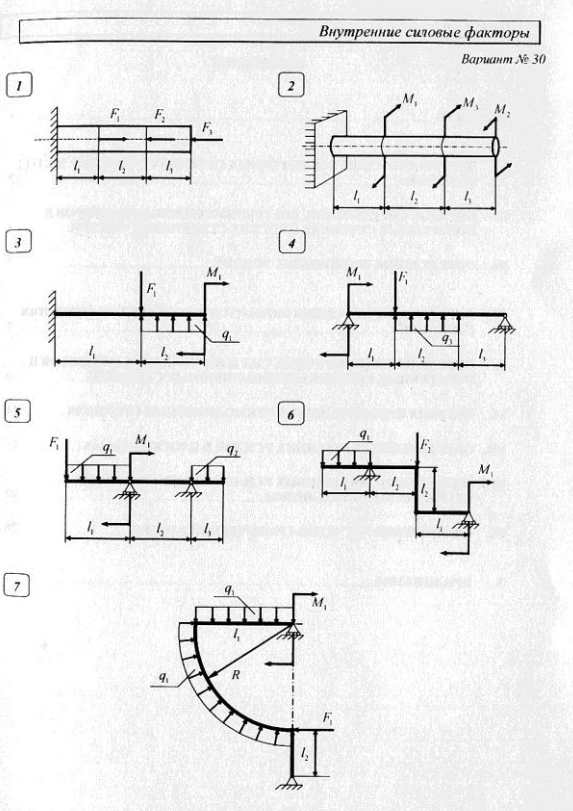


Рис. 30

- 59 -

ОГЛАВЛЕНИЕ

| | |
|---|----|
| ВВЕДЕНИЕ | 1 |
| I. ВНУТРЕННИЕ СИЛЫ В ПОПЕРЕЧНЫХ СЕЧЕНИЯХ СТЕРЖНЕЙ. МЕТОД СЕЧЕНИЙ..... | 2 |
| II. ПОРЯДОК ОПРЕДЕЛЕНИЯ ВНУТРЕННИХ СИЛОВЫХ ФАКТОРОВ В ПОПЕРЕЧНЫХ СЕЧЕНИЯХ ПЛОСКИХ СТЕРЖНЕВЫХ СИСТЕМ..... | 4 |
| III. ОПРЕДЕЛЕНИЕ ПРОДОЛЬНЫХ УСИЛИЙ..... | 4 |
| IV. ОПРЕДЕЛЕНИЕ КРУТИЩИХ МОМЕНТОВ В ПОПЕРЕЧНЫХ СЕЧЕНИЯХ СТЕРЖНЕЙ..... | 7 |
| V. ОПРЕДЕЛЕНИЕ ПОПЕРЕЧНЫХ СИЛ И ИЗГИБАЮЩИХ МОМЕНТОВ В ПОПЕРЕЧНЫХ СЕЧЕНИЯХ ПРЯМОЛИНЕЙНЫХ СТЕРЖНЕЙ..... | 9 |
| VI. ПРАВИЛА ПРОВЕРКИ ЭПЮР В ПРЯМОЛИНЕЙНЫХ СТЕРЖНЯХ..... | 14 |
| VII. ОПРЕДЕЛЕНИЕ ВНУТРЕННИХ УСИЛИЙ В ПЛОСКИХ РАМАХ..... | 16 |
| VIII. ОПРЕДЕЛЕНИЕ ВНУТРЕННИХ УСИЛИЙ В КРИВОЛИНЕЙНЫХ СТЕРЖНЯХ МАЛОЙ КРИВИЗНЫ..... | 22 |
| IX. ОФОРМЛЕНИЕ РАСЧЕТНО-ГРАФИЧЕСКОЙ РАБОТЫ..... | 26 |
| X. ПРИЛОЖЕНИЕ..... | 27 |